

체승 Chopper를 이용한 최대 출력점 추적 제어

정연택	한경의 명지대학교	0 장경현 전기공학과	권혁
강승우	이승환		김용준
주)현대중전기연구소	충남전문대학		동양중업전문대학

## Tracking Control of Maximum Power Point using Step-up Chopper

Y.T.Chung K.H.Han K.H.Jang H.Kwon  
Dept. of Electrical Engineering, Myong Ji University  
S.W.Kang S.H.Lee Y.J.Kim  
Hyundai E.E.C. R & D Center ChungNam Junior College DongYang Junior College

## ABSTRACT

In this paper, a new method to track the maximum power point is presented. The proposed scheme achieves the maximum power by the step-up chopper, which tracks the maximum power point by sensing only the actual current from the photovoltaic array.

Also it adopts the protection circuit to protect the battery system against the overvoltage and overdischarge by utilizing hysteresis characteristic.

## 1. 序 論

最近 天然資源의 한계성에 대비하여 대체 energy開發에 대한研究가 활발하게 되었으며, 그 대책으로 공害가 없고, 무진장인 太陽energy의 實用化에 중점을 두고 있는 실정이다. 따라서 太陽電池는 小規模의 家庭用으로부터 大規模의 發電 plant에 이르기까지 푸넓은 应用이 기대되고, 太陽電池 module의 高效率화, 低價格화가進行되고 있으며, system의 研究도 계속적으로 進行되고 있다. 그러나 太陽電池의 發電力은 日射量, 太陽電池 素子의 溫度 및 動作 電壓 등에 의존하기 때문에 가능한 한 많은 energy를 太陽電池에서 얻어내기 위해서는 恒常 最大 出力點에서 동작 하도록 制御하여야 할 필요가 있다. (1)~(3)

太陽光發電 system의 實用化를 위해서는 그 system構成을 간단히 하는것이 필수 조건이 되고, 이러한觀點에서 보면, Boehringer교수가 제안했던 最大出力動作點制御法은 주목 할 만한 方法이다. 이 方法은 太陽電池의 電力特性曲線에서 最大電力點을 사이에 두고, 같은 電力値를 갖는 두 点이 반드시 存在한다는 것에着眼하여, 그 두 点간에 關係式을 基礎로 system을 制御하는 것이다. 이 方式은 從來와 같이 電力を 계측할 필요는 없이 단순히 電壓, 電流의 계측만으로 制御가 가능하며, 制御回路가 간단하게 된다.(1)

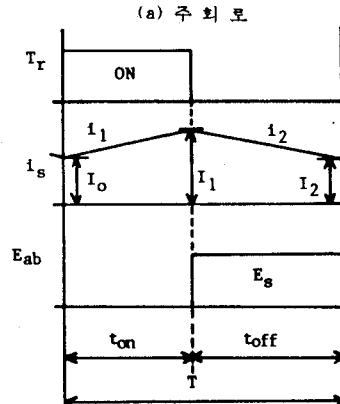
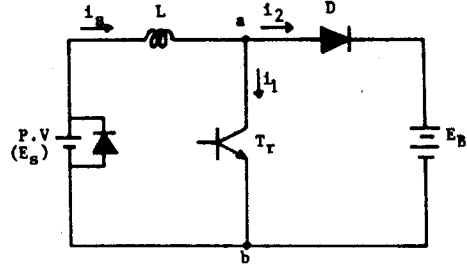
그러나 本論文은 遠端 쿠퍼를 이용하여 太陽電池로 부터 蓄電池에 電力を 供給하는 경우, 日射量의 變化에 대해서 電流 檢出만으로 恒常 最大 電力を 供給할 수 있는 方式을 提示하고, 蓄電池에 과충전 및 과방전을 防止하기 위한 保護回路도 提示하여 動作原理, 制御 system 및 基本特性을 考察하였다.

## 2. 충전회로

## 2-1. 주 회로 및 기본 동작

그림1은 체승 쇼퍼 system을 이용한 태양전지에서 축전지로서의 충전방식의 주회로 및 각부 파형을 보인것이다. 여기에서 Es는 태양전지 전압, L은 활성물 리액터, Tr은 쇼프부, D는 핵로드 다이오드, E는 축전기 전압이다.

그림 1의 주회로에서  $T_0$ 에 ON 신호를 주면  $E_a-L-T_r-E_b$ 의 경로를 통해서 전류  $i_1$ 으로서 평활용 리액터  $L$ 에 에너지가 축적된다. 이어서  $T_0$ 이 OFF 하면  $E_a-L-D-E_b-E_a$ 의 경로로  $L$ 에 축적된 에너지와 태양전지의 출력 전압  $E_a$ 가 직렬로 연결되어 전류  $i_2$ 로서 축전지  $E_b$ 에 전류가 공급된다.



### (b) 각부 파형

트랜지스터, 다이오드를 이상적인 소자라고 할 때,  $T_r$ 이 ON 한 시점을  $t=0$  라고 하면,  $T_r$ 이 ON 하고 있는 기간의 전압 밤저식은

$$L \frac{di_1}{dt} = E_a \quad \dots \quad (1)$$

T-81 OFF하고 있는 기간의 전용 반복식은

$$d_{12} = \Gamma_1 - \Gamma_2 \quad (8)$$

식 (1), (2)로 부터 태양 전지의 출력 전압  $E_s$ 와 Battery

$$E_s = \frac{E_B}{(1-\alpha)} \quad (2)$$

$$E_B = \frac{1}{1 - \alpha}$$

따라서 최대 출력이 얹어지는 증거를 구하면 다음과 같다.

EMPP

$$\alpha = 1 - \frac{E_B}{E_{B_0}} = \frac{1}{1 + \frac{E_B}{E_{B_0}}}$$

## 2-2. 충전 특성

태양 전지에서 항상 최대 전력을 얻어내는 것을 목적으로 체증 쇼퍼 system을 이용할 때, 태양 전지에서 축전지로 충전하는 특성을 고찰하였다. 이 방법에 대해서 체증 쇼퍼를 대상으로 하여 태양 전지에서 최대 출력을 얻기 위한 쇼퍼부의 시비율  $\alpha$ 의 조건을 검토하였다. 그림2는  $E_s < E_b$ 로, 체증 쇼퍼를 이용하여 태양 전지의 전압을 증입하여 축전지로 충전하는 방식을 보았다.

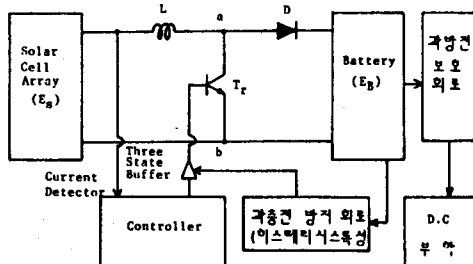


그림2. 체증 쇼퍼를 이용한 태양 전지에서 축전지로의 충전 방식

체증 쇼퍼에서는 원리적으로  $I_o$ 는 연속 하므로 태양 전지에서 연속적으로 전류를 얻어낼 수 있어, 장암 쇼퍼와는 달리 태양 전지와 병렬로 펜던서를 연결하지 않아도 최대 동작점에서 동작하는 것이 가능하다. 그러나  $L$ 값이 작은 경우와 주파수가 낮은 경우에는  $I_o$ 가 단속 하므로, 단속 하지 않도록  $L$ 값과 주파수를 선택할 필요가 있으나, 장치를 소형화하기 위해서는  $L$ 값을 작게 하고, 동작 주파수  $f$ 를 크게 설정할 필요가 있다.

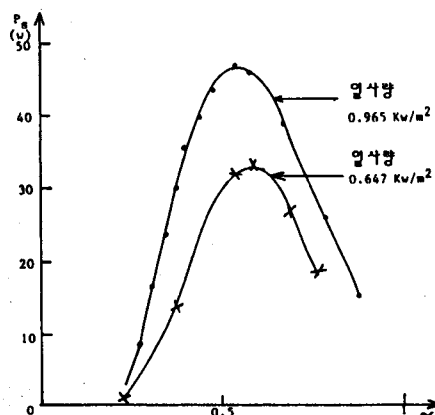


그림3. 일사량에 따른 시비율  $\alpha$ 에 대한 출력 특성

그림3은 증압 쇼퍼를 이용한 경우, 일사량에 따른 시비율  $\alpha$ 에 대한 출력 특성을 보인 것이다. 이 그림에서 아는 바와 같이 일사량의 변화에 따른 최대 출력점에 대해서 시비율  $\alpha$ 가 변화됨을 알 수 있다. 따라서 최대 출력점을 찾기 위해서는, 일사량 변화에 따라 자동적으로 시비율  $\alpha$ 가 조정되어 항상 최대 출력점에서 운전 되도록 system을 제어 할 필요가 있다.

## 3. 태양 전지의 최대 출력 추적 특성

그림4는 일정 일사량, 일정 소자 온도에서 태양 전지의 전류-전압 특성 및 전력 특성을 보인 것이다. 그림에서 알 수 있듯이 전력 특성 곡선에는 최대 출력점(MPP)가 존재한다. 또한, 그 점을 사이에 두고, 같은 전력을 갖는 두점(a,b)이 반드시 존재하고 점 a,b의 관계는  $\alpha(K)$ 로서 식 (5),(6)이 된다.

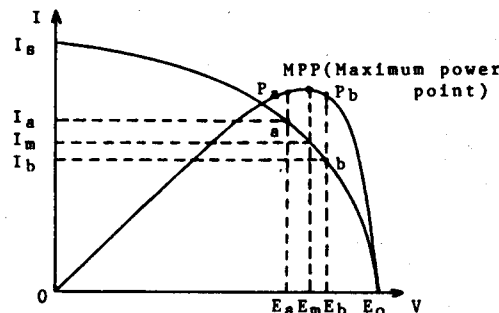


그림 4. 태양 전지의 출력 특성

$$E_a = k * E_b \quad (5)$$

$$I_b = k * I_a \quad (6)$$

식 (5),(6)은 태양 전지가 최대 출력점 균방에서 동작되기 위한 제어 조건이 된다. 이와같이 식 (5),(6)을 사용해서 최대 출력점 균방에서 자려진동 하게 하고, 더우기 일사량의 변화에 의해 태양 전지의 출력 특성이 변화하여도 항상 최대 출력점을 추적하는 방법이다. 그러나 이러한 방법은 전압, 전류를 검출하므로서 최대 출력점을 찾게 되지만, 본 방식에서는 쇼퍼 회로의 입력과 출력의 관계식을 이용하여 기지의 태양 전지 특성에 따라 전류만을 검출하여 최대 출력점을 추출하도록 하였다.

식 (4)로부터 일정 일사량 하에서 전력이 최대가 되는  $\alpha$  값을 선정하여 제어 회로에  $V_{ref}$ 를 결정한다. 따라서 검출된 전류는 자동적으로 시비율  $\alpha$ 를 변화시키므로 항상 식 (4)의 조건이 되도록 추종을 하여 일사량의 변화에 대하여 최대 출력점에서 운전 되도록 하였다.

그림 5는 일사량이 각각  $0.965 \text{ kW/m}^2$ ,  $0.695 \text{ kW/m}^2$ ,  $0.608 \text{ kW/m}^2$  일때 V-I 특성 및 최대 출력점 추종 특성이다.

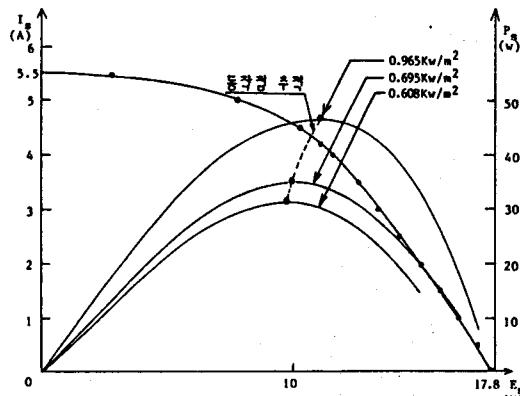


그림 5. V-I 특성 및 최대 출력점 추적 특성

## 4. 실험 결과 및 고찰

그림 6은 태양 전지에서 축전지로 충전하는 방법에 있어서 체증 쇼퍼 방식을 이용한 것이고, 전류만 검출 함으로서 일사량의 변화에 대해서도 최대 출력점을 추적하도록 한 system을 표시한다. 실험에 사용한 Hall sensor는 20A/4V,  $L = 10\text{mH}$ , 태양 전지는  $40\text{W/2P}$ ,  $E_b$ 는  $12\text{V/2S}$ 를 사용하였고, 동작 주파수  $f = 500[\text{Hz}]$ 이다.

그림 6의 불력(I)은 PI controller를 사용한 제어부가 되며, 불력(II)은 히스테리시스 특성을 이용한 Battery의 과충전 및 과방전 보호 회로이다.

이상과 같은 실험 결과를 통하여 시간(일사량 변화)에 대한 출력 변화의 관계를 그림 7에 표시하며, 그에 따른 동작 과정을 사진 1에 나타낸다.

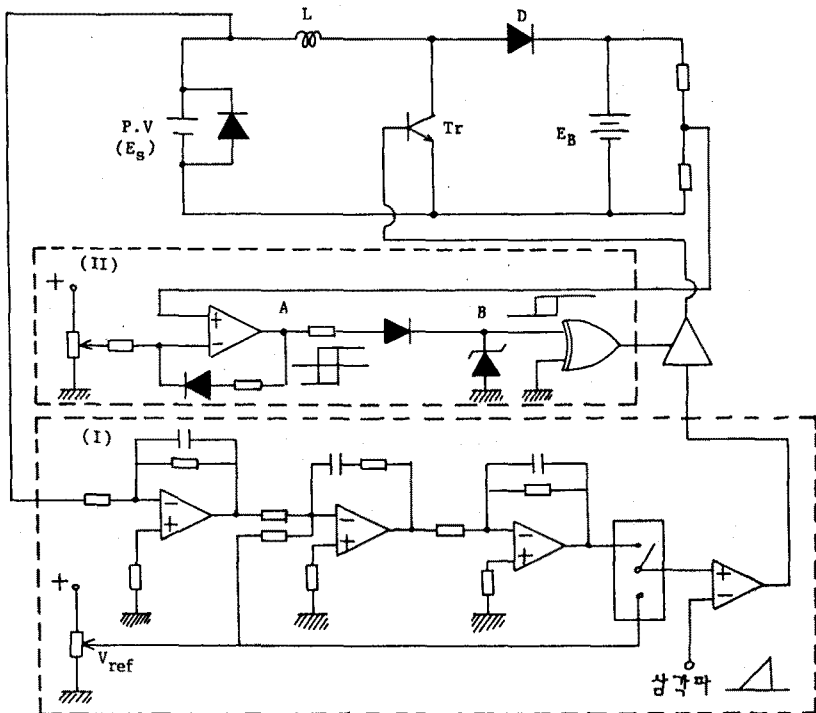
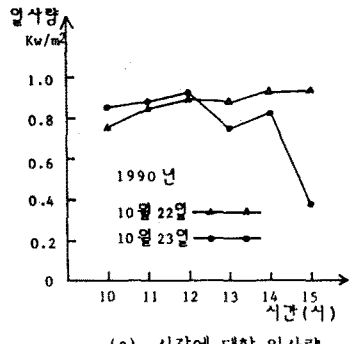


그림 6. 주 회로 및 Controller



(a) 시간에 대한 일사량

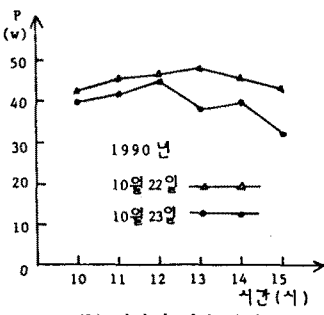
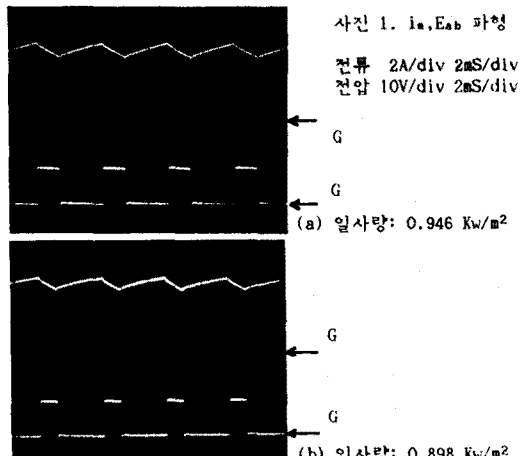


그림 7. 시간에 대한 일사량 특성

## 5. 결론

太陽電池로부터蓄電池에電力を充전시키는 경우最大出力点에서動作하도록 하는從來의方法은電壓,電流를 측정 하므로서 가능하였으나, 本 方式에서는既知의 태양전지 V-I特性을 이용하여 단지電流만의檢出로日射量의

변화에도恒常最大出力点에서動作되도록制御回路를構成하였으며, 별도로 과충전 및 과방전回路를附加함으로서蓄電池을保護할 수 있게하였다.  
今後本方式을利用하여強壓 쇼퍼 및昇压 쇼퍼를 사용한 경우,最大出力追跡制御特性을 검토할 예정이다.



## 6. 참고문헌

- 1) 大庭勝實, 佐藤剛, “태양광 발전 System의 최대 출력 추적 제어법”, 日本電氣學會論文誌 (昭61-B75)
- 2) 木村軍司, 城谷已律雄, “Chopper를 이용한 태양전지에서 축전지모의 충전특성에 대해서”電氣學會全大(昭61年)
- 3) 星野正人, 木藤公生, 木村軍司, 城谷已律雄, “태양광발전 System에 의한 DC-DC Converter 및 Inverter에 관한 연구” JIEE SPC-88-36
- 4) A.F.Boehringer “Self-Adapting dc Converter for Solar Spacecraft Power Supply” IEEE Trans. Aerosp. & Electron. Syst., AES-4, 102 (1968)